

УДК 519.632

ПРИБЛИЖЕННЫЙ МЕТОД ОПРЕДЕЛЕНИЯ ГАРМОНИЧЕСКИХ БАРИЦЕНТРИЧЕСКИХ КООРДИНАТ ДЛЯ ПРОИЗВОЛЬНЫХ МНОГОУГОЛЬНИКОВ

© 2019 г. А. С. Ильинский^{1,*}, И. С. Полянский^{1,2,**}

¹119991 Москва, Ленинские горы, МГУ, Россия;

²302015 Орёл, Академия ФСО России, Россия)

*e-mail: celd@cs.msu.su

**e-mail: van341@mail.ru

Поступила в редакцию 24.05.2018 г.

В статье задано соотношение по нахождению гармонических барицентрических координат для произвольных многоугольников. Решение является приближенно-аналитическим. В сформулированной постановке гармонические барицентрические координаты определяются через логарифмический потенциал двойного слоя при решении задачи Дирихле методом Фредгольма. Приближенность решения обусловлена применяемым разложением в системе ортогональных многочленов Лежандра ядра интегрального уравнения Фредгольма второго рода относительно неизвестной плотности потенциала на границе области и функции Грина при вычислении потенциала. Выполнена оценка сходимости и точности заданного решения. Для наглядного сравнения предпочтительности предложенного решения приведены расчеты на тестовых примерах. Библ. 26. Фиг. 4.

Ключевые слова: гармонические барицентрические координаты, произвольный многоугольник, уравнение Лапласа, логарифмический потенциал двойного слоя, уравнение Фредгольма, многочлены Лежандра.

DOI: 10.1134/S0044466919030098

1. ВВЕДЕНИЕ

Основной этап барицентрического метода [1], применяемого в приближении вариационных методов И.Г. Бубнова, Б.Г. Галеркина и В. Ритца при численном решении дифференциальных уравнений теории упругости [2], дифференциальных уравнений электродинамики [3], [4], сингулярных интегральных уравнений [5], [6] в задачах дифракции электромагнитных волн на проводящих тонких экранах [7], связан с определением барицентрических координат [8]–[10] для односвязной замкнутой области с кусочно-линейной границей. Барицентрические координаты (БК) введены Мёбиусом в 1827 г. с заданием методов их определения для симплексов в \mathbb{R}^2 , \mathbb{R}^3 . Обобщения БК на выпуклые многоугольники предложены значительно позднее в XX веке (начиная с 1961 г.) в работах таких ученых, как J.A. Kalman, E.L. Wachspress, W.J. Gordon, J.A. Wixom, M.S. Floater и в основном связаны с введением Wachspress (WP) координат [8]. В последующих работах в XXI веке учеными M. Meyer, M.S. Floater, J. Warren, K. Hormann, N. Sukumar, Tao Ju, S. Schaefer, A. Belyaev, P. Liepa, Y. Lipman, D. Levin, O. Weber, M. Ben-Chen, C. Gotsman, R. Rustamov, A. Guessab, Xian-Ying Li, Shi-Min Hu и др. разработан ряд методов определения БК для произвольных многоугольников и многогранников, основные из которых связаны с координатами: Mean value coordinates (MVC), Gordon-Wixom (GP), Maximum entropy coordinates (MCE), Moving least squares coordinates (MLSC), Poisson coordinates (PC), Complex barycentric coordinates (CBC). Краткий обзор существующих методов определения БК с представлением дополнительных решений по обобщению задачи \mathbb{R}^2 в \mathbb{R}^3 представлен в [1], [9], [10] с указанием основного недостатка — они позволяют в лучшем случае определять псевдогармонические БК для выпуклой области. Последнее приводит к ограничению барицентрического метода [1] при решении задач математической физики для сложных относительно геометрической формы структур. Метод по определению гармонических БК для односвязной замкнутой области с кусочно-линейной границей предложен в [11]. Его недостатки связаны с необходимостью дополнительного решения

обратной задачи конформного отображения анализируемой области на каноническую [12], [13] и вычислению интеграла при определении БК для вогнутых многоугольников. Последнее снижает универсальность и относительную простоту программной реализации барицентрического метода [1] в сравнении с наиболее распространенным в современных САПР методом решения краевых и начальной краевых задач математической физики – методом конечных элементов.

Целью настоящей статьи является устранение указанного недостатка путем задания относительно простого аналитического соотношения (составляется из конечных и простых математических операций и функций), позволяющего с заданной точностью определять гармонические БК для произвольных многоугольников.

2. ПОСТАНОВКА ЗАДАЧИ

Для удобства математической записи определим постановку задачи на комплексной плоскости \mathbb{C} . Построим односвязную область $\Omega \subset \mathbb{C}$, ограниченную замкнутой ломаной линией Γ без самопересечений при

$$\Gamma = \bigcup_{i=0}^{N-1} \Gamma_i,$$

где Γ_i – прямолинейный отрезок, соединяющий точки P_i и P_{i+1} (вершины Ω при $i = \overline{0, N-1}$, $P_N = P_0$) и допускающий следующее параметрическое представление:

$$\Gamma_i = \{x_i = x_i(t) = (P_{i+1} - P_i)t + P_i, t \in [0, 1]\}.$$

С учетом известных из [2], [11] свойств и определений БК для задания гармонических барицентрических координат ζ_i рассмотрим следующую краевую задачу:

$$\begin{aligned} \Delta \zeta_i(x) &= 0, & x \in \Omega; \\ \zeta_i(x) &= t, & x \in \Gamma_{i-1}; \\ \zeta_i(x) &= 1-t, & x \in \Gamma_i; \\ \zeta_i(x) &= 0, & x \in \Gamma \setminus \{\Gamma_{i-1}, \Gamma_i\}. \end{aligned} \quad (1)$$

Решение задачи Дирихле (1) выполним известным методом Фредгольма [14] при представлении функции ζ_i в виде логарифмического потенциала двойного слоя (см. [15]):

$$\zeta_i(x) = -\frac{1}{2\pi} \int_{\Gamma} \Phi_i(y) \frac{\partial \ln|x-y|}{\partial n_y} dl_y, \quad (2)$$

где $\frac{\partial}{\partial n_y}$ обозначает частную производную по внутренней нормали к Γ в точке y ; dl_y – дифференциал кривой Γ ; $\Phi_i(y)$ – неизвестная плотность на границе $y \in \Gamma$ области Ω , однозначно определяемая из интегрального уравнения Фредгольма II рода (см. [16]):

$$\Phi_i(x) - \frac{1}{\pi} \int_{\Gamma} \Phi_i(y) \frac{\partial \ln|x-y|}{\partial n_y} dl_y = 2U_i(x), \quad x \in \Gamma, \quad (3)$$

где через $U_i(x)$ обозначены заданные в (1) значения $\zeta_i(x)$ на Γ .

Учитывая параметризацию Γ и граничные условия из (1), интегральное уравнение (3) запишем в виде

$$\varphi_j^i(t) + \sum_{k=0}^{N-1} \int_0^1 \varphi_k^i(s) K_{j,k}(t,s) ds = u_j^i(t), \quad (4)$$

где $\varphi_j^i(t) = \Phi_i(x_j(t))$; $u_j^i(t) = 2U_i(x_j(t))$; $j = \overline{0, N-1}$; $K_{j,k}(t,s)$ – ядро интегрального уравнения (4), которое с учетом [14], [17] при $t, s \in [0, 1]$ определяется соотношением

$$K_{j,k}(t,s) = \begin{cases} -\frac{1}{\pi} \operatorname{Im} \left[\frac{e_k}{e_j t + P_j - e_k s - P_k} \right], & j \neq k, \\ 0, & j = k. \end{cases} \quad (5)$$

В выражении (5) введены обозначения $e_k = P_{k+1} - P_k$; $e_j = P_{j+1} - P_j$.

Решение интегрального уравнения (4) относительно $\phi_j^i(t)$ позволяет задать ζ_i при вычислении интеграла:

$$\zeta_i(x) = \frac{1}{2\pi} \sum_{j=0}^{N-1} \int_0^1 \phi_j^i(t) K_j(t, x) dt, \tag{6}$$

где

$$K_j(t, x) = \text{Im} \left[\frac{e_j}{e_j t + P_j - x} \right]. \tag{7}$$

3. МЕТОД ОПРЕДЕЛЕНИЯ ГАРМОНИЧЕСКИХ БАРИЦЕНТРИЧЕСКИХ КООРДИНАТ

С учетом заданной постановки задачи определим приближение (6) при решении (4), используя следующие утверждения.

Лемма 1. Ядро $K_{j,k}(t, s)$ интегрального уравнения (4) допускает разложение вида

$$K_{j,k}(t, s) = \sum_{n=0}^{\infty} (2n+1) \lambda_n^{j,k}(t) L_n(s);$$

$$\lambda_n^{j,k}(t) = \begin{cases} \frac{1}{\pi} \text{Im} \left[L_n \left(\frac{e_j t + R_{j,k}}{e_k} \right) \ln \left(\frac{e_j t + R_{j,k+1}}{e_j t + R_{j,k}} \right) + 2W_{n-1} \left(\frac{e_j t + R_{j,k}}{e_k} \right) \right], & j \neq k, \\ 0, & j = k. \end{cases} \tag{8}$$

В выражении (8) $R_{j,k} = P_j - P_k$; $L_n(s)$ – сдвинутый на интервале ортогональности $[0, 1]$ многочлен Лежандра; $W_n(s)$ – вспомогательная функция (см. [18]):

$$L_n(s) = \frac{1}{2^n} \sum_{h=0}^{\lfloor n/2 \rfloor} (-1)^h \binom{n}{h} \binom{2n-2h}{n} (2s-1)^{n-2h};$$

$$W_n(s) = \sum_{h=0}^{\lfloor n/2 \rfloor} \frac{2(n-2h)+1}{(2h+1)(n+1-h)} L_{n-2h}(s), \quad W_{-1}(s) \equiv 0. \tag{9}$$

Доказательство. Определим разложение ядра $K_{j,k}(t, s)$ интегрального уравнения (4) в системе многочленов $L_n(s)$

$$K_{j,k}(t, s) = \sum_{n=0}^{\infty} \tilde{\lambda}_n^{j,k}(t) \sqrt{2n+1} L_n(s), \tag{10}$$

где $\tilde{\lambda}_n^{j,k}(t)$ с учетом $\int_0^1 L_n(s) L_m(s) ds = \frac{\delta_{nm}}{2n+1}$ задается интегралом:

$$\tilde{\lambda}_n^{j,k}(t) = \sqrt{2n+1} \int_0^1 L_n(s) K_{j,k}(t, s) ds. \tag{11}$$

В случае $j = k$ интеграл (11) вычисляется тривиально $\tilde{\lambda}_n^{j,k}(t) = 0$. Рассмотрим случай $j \neq k$ и, подставив в (11) определение $K_{j,k}(t, s)$ из (5), получим

$$\tilde{\lambda}_n^{j,k}(t) = -\frac{\sqrt{2n+1}}{\pi} \text{Im} \left[\int_0^1 \frac{L_n(s) e_k}{e_j t + P_j - e_k s - P_k} ds \right]. \tag{12}$$

Приняв обозначения $s = \frac{l - P_k}{e_k}$, $z = e_j t + P_j$, с применением формулы замены переменной приведем определенный интеграл в (12) к виду

$$\int_0^1 \frac{L_n(s) e_k}{e_j t + P_j - e_k s - P_k} ds = \int_{\frac{-P_k}{e_k}}^{\frac{1-P_k}{e_k}} \frac{L_n\left(\frac{l - P_k}{e_k}\right)}{z - l} dl. \tag{13}$$

Из [19] известно, что при $|\arg(z - 1)| < \pi$ справедливо $\tilde{Q}_n(z) = \frac{1}{2} \int_{-1}^1 \frac{\tilde{L}_n(l)}{z - l} dl$, где $\tilde{L}_n(l)$ и $\tilde{Q}_n(z)$ – многочлены Лежандра I и II рода соответственно при $\tilde{Q}_n(z) = \frac{1}{2} \tilde{L}_n(z) \ln\left(\frac{z+1}{z-1}\right) - \tilde{W}_{n-1}(z)$; $\tilde{W}_{n-1}(z)$ определяется с учетом (9) через $\tilde{L}_n(z)$. Для указанного тождества, применяя аффинное преобразование при определении сдвинутых многочленов Лежандра на интервале ортогональности $\left[\frac{-P_k}{e_k}, \frac{1-P_k}{e_k}\right]$ с учетом (9), определим (13) в виде

$$\int_{\frac{-P_k}{e_k}}^{\frac{1-P_k}{e_k}} \frac{L_n\left(\frac{l - P_k}{e_k}\right)}{z - l} dl = -L_n\left(\frac{z - P_k}{e_k}\right) \ln\left(\frac{z - P_{k+1}}{z - P_k}\right) - 2W_{n-1}\left(\frac{z - P_k}{e_k}\right). \tag{14}$$

Подставив (14) в (12), при обратной замене $z = e_j t + P_j$ получим

$$\tilde{\lambda}_n^{j,k}(t) = \frac{\sqrt{2n+1}}{\pi} \operatorname{Im} \left[L_n\left(\frac{e_j t + R_{j,k}}{e_k}\right) \ln\left(\frac{e_j t + R_{j,k+1}}{e_j t + R_{j,k}}\right) + 2W_{n-1}\left(\frac{e_j t + R_{j,k}}{e_k}\right) \right]. \tag{15}$$

Из (15) следует $\tilde{\lambda}_n^{j,k}(t) = \sqrt{2n+1} \lambda_n^{j,k}(t)$, что с учетом (10) доказывает справедливость (8).

Из формулировки и доказательства леммы 1 для заданной постановки задачи следует наличие особенностей при определении функции $\lambda_n^{j,k}(t)$ для $t \in [0, 1]$, $j, k \in \{0, N-1\}$.

Лемма 2. Пусть $j \neq k$, $j + 1 \neq k$ и $j \neq k + 1$, тогда для $m, n \in \{0, \mathbb{N}\}$ имеет место тождество

$$\int_0^1 \lambda_m^{j,k}(t) L_n(t) dt = \frac{(-1)^{n+m}}{\pi} (C_{m,n}^{j,k} + D_{m,n}^{j,k}), \tag{16}$$

где

$$C_{m,n}^{j,k} = \sum_{h=1}^{n+m+1} \operatorname{Im} \left[B_{h-1,m,n}^{j,k} \left(\ln\left(\frac{R_{j+1,k+1}}{R_{j+1,k}}\right) + \left(\frac{R_{j,k}}{-e_j}\right)^h \left[\ln\left(\frac{R_{j+1,k}}{R_{j,k}}\right) + \sum_{v=1}^h \frac{1}{v} \left(\frac{-e_j}{R_{j,k}}\right)^v \right] \right) - \left(\frac{R_{j,k+1}}{-e_j}\right)^h \left[\ln\left(\frac{R_{j+1,k+1}}{R_{j,k+1}}\right) + \sum_{v=1}^h \frac{1}{v} \left(\frac{-e_j}{R_{j,k+1}}\right)^v \right] \right]; \tag{17}$$

$$D_{m,n}^{j,k} = \begin{cases} -2 \sum_{v=0}^{\lfloor (m-1)/2 \rfloor} \frac{2(m-2v)-1}{(2v+1)(m-v)} \sum_{h=1}^{n+m+1} \tilde{B}_{h-1,m-2v-1,n}^{j,k}, & m > n, \\ 0, & m \leq n. \end{cases} \tag{18}$$

В выражении (17) принято обозначение

$$B_{h,m,n}^{j,k} = \frac{1}{h+1} \sum_{v=0}^h \left(\frac{e_j}{R_{j,k}}\right)^v A_{h-v,n} \sum_{r=v}^{n+m} \left(\frac{R_{j,k}}{e_k}\right)^r A_{r,m} \binom{r}{v}, \tag{19}$$

где $A_{h,n} = \prod_{v=0}^{h-1} (v-n)(n+1+v)(v+1)^{-2}$, $A_{0,n} \equiv 1$.

В выражении (18) коэффициенты $\tilde{B}_{h,m,n}^{j,k}$ определяются аналогично соотношению (19) при том, что суммирование по индексу r производится на интервале $[v; n + m + h]$, а суммирование по индексу v выполняется для мнимой части стоящего за знаком суммы выражения.

Доказательство. В интеграл выражения (16) подставим определение $\lambda_m^{j,k}(t)$ из (8) при $j \neq k$ и с учетом свойств логарифма получим сумму трех интегралов:

$$\int_0^1 \lambda_m^{j,k}(t) L_n(t) dt = \frac{1}{\pi} \operatorname{Im} \left[\int_0^1 L_m \left(\frac{e_j t + R_{j,k}}{e_k} \right) L_n(t) \ln(e_j t + R_{j,k+1}) dt - \int_0^1 L_m \left(\frac{e_j t + R_{j,k}}{e_k} \right) L_n(t) \ln(e_j t + R_{j,k}) dt + 2 \int_0^1 W_{m-1} \left(\frac{e_j t + R_{j,k}}{e_k} \right) L_n(t) dt \right]. \tag{20}$$

Заметим, что составной частью всех подынтегральных выражений (20) является произведение многочленов Лежандра $L_m \left(\frac{e_j t + R_{j,k}}{e_k} \right) L_n(t)$. С учетом отмеченного и [20] зададим равенство

$$\int_0^1 L_m \left(\frac{e_j t + R_{j,k}}{e_k} \right) L_n(t) dt = (-1)^{n+m} \int_0^1 F \left(-m, m + 1, 1, \frac{e_j t + R_{j,k}}{e_k} \right) F(-n, n + 1, 1, t) dt, \tag{21}$$

где $F(a, b, c, d)$ – гипергеометрическая функция [19], вычисляемая, к примеру, для $a = -m$; $b = m + 1$; $c = 1$; $d = \frac{e_j t + R_{j,k}}{e_k}$ следующим образом:

$$F \left(-m, m + 1, 1, \frac{e_j t + R_{j,k}}{e_k} \right) = 1 + \sum_{h=1}^{\infty} \left[A_{h,m} \left(\frac{e_j t + R_{j,k}}{e_k} \right)^h \right]. \tag{22}$$

Преобразуя функцию $f(t) = \sum_{h=1}^{\infty} \left[A_{h,m} \left(\frac{e_j t + R_{j,k}}{e_k} \right)^h \right]$ при разложении в ряд Тейлора в окрестности точки $t = 0$ перепишем выражение (22) в виде

$$F \left(-m, m + 1, 1, \frac{e_j t + R_{j,k}}{e_k} \right) = 1 + \sum_{h=1}^{\infty} \left[A_{h,m} \sum_{v=0}^h \binom{h}{v} \left(\frac{e_j}{e_k} \right)^v \left(\frac{R_{j,k}}{e_k} \right)^{h-v} t^v \right] = \sum_{h=1}^{\infty} A_{h,m} \left(\frac{R_{j,k}}{e_k} \right)^h + \sum_{h=1}^{\infty} \left[\left(\frac{e_j}{e_k} \right)^h t^h \sum_{v=h}^{\infty} \left[A_{v,m} \left(\frac{R_{j,k}}{e_k} \right)^{v-h} \binom{v}{h} \right] \right]. \tag{23}$$

Используя аналогичное (22) представление для $F(-n, n + 1, 1, t)$, с учетом (23), того, что $A_{h,m} = 0$ при $h \neq 0 \wedge h > m$, $A_{v,n} = 0$ при $v \neq 0 \wedge v > n$, равенства [19] $\int_0^1 t^h L_n(t) dt = 0$ при $h < n$ определим интеграл (21) следующим соотношением:

$$\int_0^1 L_m \left(\frac{e_j t + R_{j,k}}{e_k} \right) L_n(t) dt = (-1)^m \sum_{h=0}^m \left\{ \int_0^1 L_n(t) t^h dt \sum_{v=h}^m \left[A_{v,m} \left(\frac{R_{j,k}}{e_k} \right)^{v-h} \binom{v}{h} \right] \left(\frac{e_j}{e_k} \right)^h \right\} = (-1)^{n+m} \sum_{h=n}^{n+m} \left[\left(\frac{e_j}{e_k} \right)^h \sum_{v=0}^n \frac{A_{v,n}}{h+v+1} \sum_{v=h}^{n+m} A_{v,m} \left(\frac{R_{j,k}}{e_k} \right)^v \binom{v}{h} \right]. \tag{24}$$

С учетом (24) и равенства

$$\int_0^1 t^h \ln(e_j t + R_{j,k+1}) dt = \frac{1}{h+1} \left[\ln(R_{j+1,k+1}) - \int_0^1 \frac{e_j t^{h+1}}{R_{j,k+1} + e_j t} dt \right] = \frac{1}{h+1} \left\{ \ln(R_{j+1,k+1}) - \left(\frac{-R_{j,k+1}}{e_j} \right)^{h+1} \left[\ln \left(\frac{R_{j+1,k+1}}{R_{j,k+1}} \right) + \sum_{v=1}^{h+1} \frac{1}{v} \left(\frac{-e_j}{R_{j,k+1}} \right)^v \right] \right\}$$

преобразуем первый интеграл в правой части выражения (20) к виду

$$\int_0^1 L_m \left(\frac{e_j t + R_{j,k}}{e_k} \right) L_n(t) \ln(e_j t + R_{j,k+1}) dt = (-1)^{n+m} \sum_{h=0}^m \left\{ \sum_{v=0}^n \frac{A_{v,n}}{h+v+1} \times \right. \\ \left. \times \left[\ln(R_{j+1,k+1}) - \left(\frac{-R_{j,k+1}}{e_j} \right)^{h+v+1} \left(\ln \left(\frac{R_{j+1,k+1}}{R_{j,k+1}} \right) + \sum_{r=1}^{h+v+1} \frac{1}{r} \left(\frac{-e_j}{R_{j,k+1}} \right)^r \right) \right] \left(\frac{e_j}{R_{j,k}} \right)^h \sum_{v=h}^m A_{v,m} \left(\frac{R_{j,k}}{e_k} \right)^v \binom{v}{h} \right\}. \quad (25)$$

С учетом свойств степенных рядов [21] и (19) представим (25) в виде

$$\int_0^1 L_m \left(\frac{e_j t + R_{j,k}}{e_k} \right) L_n(t) \ln(e_j t + R_{j,k+1}) dt = (-1)^{n+m} \times \\ \times \sum_{h=1}^{n+m+1} \left[B_{h-1,m,n}^{j,k} \left(\ln(R_{j+1,k+1}) - \left(\frac{R_{j,k+1}}{-e_j} \right)^h \left[\ln \left(\frac{R_{j+1,k+1}}{R_{j,k+1}} \right) + \sum_{v=1}^h \frac{1}{v} \left(\frac{-e_j}{R_{j,k+1}} \right)^v \right] \right) \right]. \quad (26)$$

Выполняя аналогичные (25), (26) преобразования для второго интеграла в правой части выражения (20), определим, что

$$\int_0^1 L_m \left(\frac{e_j t + R_{j,k}}{e_k} \right) L_n(t) \ln \left(\frac{e_j t + R_{j,k+1}}{e_j t + R_{j,k}} \right) dt = (-1)^{n+m} \sum_{h=1}^{n+m+1} \left[B_{h-1,m,n}^{j,k} \left\{ \ln \left(\frac{R_{j+1,k+1}}{R_{j+1,k}} \right) + \left(\frac{R_{j,k}}{-e_j} \right)^h \times \right. \right. \\ \left. \left. \times \left[\ln \left(\frac{R_{j+1,k}}{R_{j,k}} \right) + \sum_{v=1}^h \frac{1}{v} \left(\frac{-e_j}{R_{j,k}} \right)^v \right] - \left(\frac{R_{j,k+1}}{-e_j} \right)^h \left[\ln \left(\frac{R_{j+1,k+1}}{R_{j,k+1}} \right) + \sum_{v=1}^h \frac{1}{v} \left(\frac{-e_j}{R_{j,k+1}} \right)^v \right] \right\} \right]. \quad (27)$$

Заметим, что мнимая составляющая правой части равенства (27) эквивалентна соотношению (16), т.е.

$$C_{m,n}^{j,k} = (-1)^{n+m} \operatorname{Im} \left[\int_0^1 L_m \left(\frac{e_j t + R_{j,k}}{e_k} \right) L_n(t) \ln \left(\frac{e_j t + R_{j,k+1}}{e_j t + R_{j,k}} \right) dt \right]. \quad (28)$$

Учитывая определение (9) функции $W_n(s)$ через многочлены Лежандра $L_n(s)$, свойства интегралов по сферическим функциям из [19] и используя (24), несложно вычислить третий слагаемый интеграл в правой части выражения (20) для $m > n$ соотношением

$$\int_0^1 W_{m-1} \left(\frac{e_j t + R_{j,k}}{e_k} \right) L_n(t) dt = (-1)^{n+m+1} 2 \sum_{h=1}^{n+m+1} \sum_{v=0}^{(m-1)/2} \frac{2(m-2v)-1}{(2v+1)(m-v)} \tilde{B}_{h-1,m-2v-1,n}^{j,k}, \quad (29)$$

где

$$\tilde{B}_{h-1,m-2v-1,n}^{j,k} = \frac{1}{h+1} \sum_{v=0}^h \left(\frac{e_j}{R_{j,k}} \right)^v A_{h-v,n} \sum_{r=v}^{n+m+h} \left(\frac{R_{j,k}}{e_k} \right)^r A_{r,m} \binom{r}{v}. \quad (30)$$

В остальных случаях ($m \leq n$) с учетом [19] третий слагаемый интеграл в правой части выражения (20) вычисляется тривиально $\int_0^1 W_{m-1} \left(\frac{e_j t + R_{j,k}}{e_k} \right) L_n(t) dt = 0$, что для (29), (30) и (18) при $\tilde{B}_{h-1,m-2v-1,n}^{j,k} = \operatorname{Im} \left(\tilde{B}_{h-1,m-2v-1,n}^{j,k} \right)$ определяет справедливость равенства

$$D_{m,n}^{j,k} = \begin{cases} (-1)^{n+m+1} 2 \operatorname{Im} \left[\int_0^1 W_{m-1} \left(\frac{e_j t + R_{j,k}}{e_k} \right) L_n(t) dt \right], & m > n, \\ 0, & m \leq n. \end{cases} \quad (31)$$

Доказанные тождества (28), (31) для (20) определяют справедливость (16).

Лемма 3. Пусть $j \neq k$, $j + 1 \neq k$ и $j = k + 1$, тогда для $m, n \in \{0, \mathbb{N}\}$ имеет место тождество

$$\int_0^1 \lambda_m^{j,k}(t) L_n(t) dt = \frac{(-1)^{n+m}}{\pi} (C_{k,m,n}^{(1)} + D_{m,n}^{j,k}), \tag{32}$$

где

$$C_{k,m,n}^{(1)} = \sum_{h=1}^{n+m+1} \operatorname{Im} \left[B_{h-1,m,n}^{k+1,k} \left(\ln \left(\frac{R_{k+2,k+1}}{R_{k+2,k}} \right) + \left(\frac{R_{k+1,k}}{-e_{k+1}} \right)^h \left[\ln \left(\frac{R_{k+2,k}}{R_{k+1,k}} \right) + \sum_{v=1}^h \frac{1}{v} \left(\frac{-e_{k+1}}{R_{k+1,k}} \right)^v \right] - \frac{1}{h} \right) \right]. \tag{33}$$

Доказательство. Справедливость (32) следует из доказательства леммы 2 с учетом того, что возникает особенность в (27) при определении $\ln \left(\frac{R_{j+1,k+1}}{R_{j,k+1}} \right)$ и $\frac{-e_j}{R_{j,k+1}}$. Для ее устранения с применением правил интегрирования по частям с учетом (24) зададим первый интеграл из правой части выражения (20) в виде

$$\int_0^1 L_m \left(\frac{e_j t + R_{j,k}}{e_k} \right) L_n(t) \ln(e_j t + R_{j,k+1}) dt = (-1)^{n+m} \left[\ln(e_j + R_{j,k+1}) \times \right. \\ \left. \times \sum_{h=1}^{n+m+1} B_{h-1,m,n}^{j,k} - \int_0^1 \frac{e_j}{e_j t + R_{j,k+1}} \sum_{h=1}^{n+m+1} B_{h-1,m,n}^{j,k} t^h dt \right]. \tag{34}$$

С учетом свойств гипергеометрических функций [19], $R_{j,k+1} = 0$ и (24) определим интеграл в правой части соотношения (34) в виде

$$\int_0^1 \frac{e_j}{e_j t + R_{j,k+1}} \sum_{h=1}^{n+m+1} B_{h-1,m,n}^{j,k} t^h dt = \int_0^1 \sum_{h=1}^{n+m+1} B_{h-1,m,n}^{j,k} t^{h-1} dt = \sum_{h=1}^{n+m+1} \frac{B_{h-1,m,n}^{j,k}}{h}. \tag{35}$$

Подставив (35) в (25) с учетом $j = k + 1$, (20) и (27) определим справедливость (33), (32).

Лемма 4. Пусть $j \neq k$, $j + 1 = k$ и $j \neq k + 1$, тогда для $m, n \in \{0, \mathbb{N}\}$ имеет место тождество

$$\int_0^1 \lambda_m^{j,k}(t) L_n(t) dt = \frac{(-1)^{n+m}}{\pi} (C_{j,m,n}^{(2)} + D_{m,n}^{j,k}), \tag{36}$$

где

$$C_{j,m,n}^{(2)} = \sum_{h=1}^{n+m+1} \operatorname{Im} \left[B_{h-1,m,n}^{j,j+1} \left(\ln \left(\frac{R_{j+1,j+2}}{-e_j} \right) + \sum_{v=1}^h \frac{1}{v} - \left(\frac{R_{j,j+2}}{-e_j} \right)^h \left[\ln \left(\frac{R_{j+1,j+2}}{R_{j,j+2}} \right) + \sum_{v=1}^h \frac{1}{v} \left(\frac{-e_j}{R_{j,j+2}} \right)^v \right] \right) \right]. \tag{37}$$

Доказательство. Справедливость (36) следует из доказательства леммы 2 с учетом того, что при вычислении интеграла по правилу (27) возникает особенность при определении $\ln \left(\frac{R_{j+1,k+1}}{R_{j+1,k}} \right)$ и $\ln \left(\frac{R_{j+1,k}}{R_{j,k}} \right)$. Для ее устранения с учетом $R_{j,k} = -e_j$ при $j + 1 = k$ зададим разложение $\ln(e_j t + R_{j,k})$ в ряд Тейлора в окрестности $t = 0$:

$$\ln(e_j t + R_{j,k}) = \ln(-e_j) - \sum_{v=1}^{\infty} \frac{t^v}{v}. \tag{38}$$

С учетом (38) вычислим второй слагаемый интеграл в правой части выражения (20) в виде

$$\int_0^1 L_m \left(\frac{e_j t + R_{j,k}}{e_k} \right) L_n(t) \ln(e_j t + R_{j,k}) dt = (-1)^{n+m} \sum_{h=1}^{n+m+1} \left[\sum_{v=0}^{h-1} \left(\frac{e_j}{R_{j,k}} \right)^v \times \right. \\ \left. \times A_{h-1-v,n} \sum_{r=v}^{n+m} \left(\frac{R_{j,k}}{e_k} \right)^r A_{r,m} \left(\frac{r}{v} \right) \left(\frac{\ln(-e_j)}{h} - \sum_{v=1}^{\infty} \frac{1}{v(h+v)} \right) \right]. \tag{39}$$

Заметим, что [19]: $\sum_{v=1}^{\infty} \frac{1}{v(h+v)} = \frac{1}{h} \sum_{v=1}^h \frac{1}{v}$, тогда для (24) перепишем (39) в виде

$$\int_0^1 L_m \left(\frac{e_j t + R_{j,k}}{e_k} \right) L_n(t) \ln(e_j t + R_{j,k}) dt = (-1)^{n+m} \sum_{h=1}^{n+m+1} B_{h-1,m,n}^{j,k} \left(\ln(-e_j) - \sum_{v=1}^h \frac{1}{v} \right). \tag{40}$$

Принимая во внимание (40) при вычислении (27) с учетом $j + 1 = k$ и (20), определим справедливость (37), (36).

Таким образом, полученные результаты (леммы 2–4) с учетом леммы 1 позволяют выделить особенности функции $\lambda_n^{j,k}(t)$ для $t \in [0, 1]$, $j, k \in \{0, N - 1\}$, и перейти к непосредственному решению задач (4), (6) нахождения гармонических БК (1).

Теорема 1. *Барицентрические координаты $\zeta_i(x)$, удовлетворяющие условиям (1), определяются соотношением*

$$\zeta_i(x) = \frac{1}{2\pi} \sum_{j=0}^{N-1} \left[G_j^i(x) - \sum_{n=0}^{\infty} Q_{j,n}^i \lambda'_{j,n}(x) \right], \tag{41}$$

где

$$\begin{aligned} \lambda'_{j,n}(x) &= \text{Im} \left[L_n \left(\frac{x - P_j}{e_j} \right) \ln \left(\frac{x - P_{j+1}}{x - P_j} \right) + 2W_{n-1} \left(\frac{x - P_j}{e_j} \right) \right]; \\ G_j^i(x) &= \begin{cases} 2 \text{Im} \left[\frac{P_{j+1} - x}{e_j} \ln \left(\frac{P_{j+1} - x}{P_j - x} \right) \right], & i = j, \\ 2 \text{Im} \left[\frac{P_j - x}{e_j} \ln \left(\frac{P_j - x}{P_{j+1} - x} \right) \right], & i + 1 = j, \\ 0, & i \neq j, \quad i + 1 \neq j; \end{cases} \tag{42} \\ Q_{j,n}^i &= \frac{2n + 1}{\pi} \sum_{\substack{k=0 \\ k \neq j}}^{N-1} \sum_{m=0}^{\infty} (-1)^{n+m} S_{k,m}^i \sqrt{2m + 1} (C_{m,n}^{j,k} + D_{m,n}^{j,k}). \end{aligned}$$

В выражении (42) $D_{n,m}^{j,k}$ и $C_{n,m}^{j,k}$ вычисляются соотношениями (18) и (17), (33), (37) соответственно с учетом выделенных особенностей для $\lambda_m^{j,k}(t)$; $S_{k,m}^i$ – коэффициенты, определяемые из решения системы линейных уравнений:

$$\mathbf{S}^i + \mathbf{S}^i \mathbf{T} = \mathbf{U}^i, \tag{43}$$

где \mathbf{T} – блочная матрица, составленная из элементов $t_{m,n}^{j,k} = \frac{(-1)^{n+m}}{\pi} \sqrt{2n + 1} \sqrt{2m + 1} (C_{m,n}^{j,k} + D_{m,n}^{j,k})$; \mathbf{S}^i – блочный вектор неизвестных элементов $S_{k,m}^i$; \mathbf{U}^i – блочный вектор, составленный из элементов:

$$U_{k,m}^i = \sqrt{2m + 1} \int_0^1 u_k^i(t) L_m(t) dt = \begin{cases} 1, & (i = k \vee i = k - 1) \wedge m = 0, \\ -1/\sqrt{3}, & i = k \wedge m = 1, \\ 1/\sqrt{3}, & i = k - 1 \wedge m = 1, \\ 0 & \text{иначе.} \end{cases}$$

Доказательство. Подставив разложение (8) ядра $K_{j,k}(t, s)$ в интегральное уравнение (4), получим

$$\varphi_j^i(t) + \sum_{k=0}^{N-1} \sum_{m=0}^{\infty} (2m + 1) \lambda_m^{j,k}(t) \int_0^1 \varphi_k^i(s) L_m(s) ds = u_j^i(t). \tag{44}$$

Для (44) применим известный метод вырожденных ядер для решения интегральных уравнений II рода с постоянными пределами интегрирования [16]. Пусть неизвестная функция $\varphi_j^i(t)$ определяется выражением

$$\varphi_j^i(t) = u_j^i(t) - \sum_{k=0}^{N-1} \sum_{m=0}^{\infty} S_{k,m}^i \sqrt{2m+1} \lambda_m^{j,k}(t), \tag{45}$$

где

$$S_{k,m}^i = \sqrt{2m+1} \int_0^1 \varphi_k^i(s) L_m(s) ds. \tag{46}$$

Тогда при подстановке (45) в (44) в силу ортогональности функций $L_m(s)$, независимости $\varphi_j^i(t)$, $\varphi_{j+1}^i(t)$ для $j = \{0, N-1\}$ и их гладкости всюду на Γ_j, Γ_{j+1} соответственно кроме, быть может, угловых точек (в P_j допускаются особенности вида [17]: $(x - P_j)^\theta$, $0 < \theta < 1$) для определенных в (8) многочленов $\lambda_m^{j,k}(t)$ сведем интегральное уравнение (4) к системе линейных уравнений (43). Решение $\mathbf{S}^i = (\mathbf{E} + \mathbf{T})^{-1} \mathbf{U}^i$, уравнения (43) позволяет определить с учетом (45) неизвестную функцию плотности $\varphi_j^i(t)$, подстановка которой в (6) позволяет определить гармонический БК выражением

$$\zeta_i(x) = \frac{1}{2\pi} \sum_{j=0}^{N-1} \left(\int_0^1 u_j^i(t) K_j(t, x) dt - \sum_{k=0}^{N-1} \sum_{m=0}^{\infty} \sqrt{2m+1} S_{k,m}^i \int_0^1 \lambda_m^{j,k}(t) K_j(t, x) dt \right). \tag{47}$$

Первый интеграл в правой части выражения (47) с учетом (7) и граничных условий из (1) несложно вычислить, представив результат в виде

$$\int_0^1 u_j^i(t) K_j(t, x) dt = G_j^i(x). \tag{48}$$

Второй интеграл в правой части выражения (47) вычислим, определив разложение $K_j(t, x)$ в системе многочленов $L_n(t)$:

$$K_j(t, x) = \sum_{n=0}^{\infty} \lambda'_{j,n}(x) (2n+1) L_n(t), \tag{49}$$

где $\lambda'_{j,n}(x)$ с учетом $\int_0^1 L_n(s) L_m(s) ds = \frac{\delta_{nm}}{2n+1}$ задается интегралом:

$$\lambda'_{j,n}(x) = \int_0^1 L_n(t) K_j(t, x) dt. \tag{50}$$

С учетом доказательства леммы 1 при задании (12)–(15) нетрудно определить справедливость вычисления интеграла (50) в виде (42).

Подставив разложение (49) во второй интеграл (47), получим

$$\begin{aligned} & \sum_{n=0}^{\infty} (2n+1) \lambda'_{j,n}(x) \sum_{k=0}^{N-1} \sum_{m=0}^{\infty} \sqrt{2m+1} S_{k,m}^i \int_0^1 \lambda_m^{j,k}(t) L_n(t) dt = \\ & = \sum_{n=0}^{\infty} \frac{2n+1}{\pi} \sum_{k=0}^{N-1} \sum_{m=0}^{\infty} (-1)^{n+m} S_{k,m}^i \sqrt{2m+1} (C_{m,n}^{j,k} + D_{m,n}^{j,k}). \end{aligned} \tag{51}$$

С учетом того, что $C_{m,n}^{j,k} = D_{m,n}^{j,k} = 0$ при $j = k$, подставив (51) и (48) в (47), получим (41), что и требовалось доказать.

Таким образом, полученные соотношения (41), (42) при замене бесконечных сумм по индексам n и m конечными с ограничением числа слагаемых до M_1 и M_2 соответственно позволяют задать приближенно-аналитическое определение гармонических БК для Ω :

$$\zeta_i(x) \approx \zeta_{M_1, M_2}^i(x) = \frac{1}{2\pi} \sum_{j=0}^{N-1} \left[G_j^i(x) - \sum_{n=0}^{M_1} \lambda_{j,n}^i(x) \frac{2n+1}{\pi} \sum_{\substack{k=0 \\ k \neq j}}^{N-1} \sum_{m=0}^{M_2} (-1)^{n+m} S_{k,m}^i \sqrt{2m+1} (C_{m,n}^{j,k} + D_{m,n}^{j,k}) \right]. \quad (52)$$

4. ОЦЕНКА СХОДИМОСТИ И ТОЧНОСТИ МЕТОДА, ТЕСТОВЫЕ ПРИМЕРЫ

Заданное решение по определению гармонических БК с учетом введенных правил (17), (18), (33), (37) вычисления для Ω вызывает дополнительный интерес к оценке сходимости и точности (52) от M_1, M_2 . Для этого покажем, что последовательность функций $\{\Phi_{M_2}^i(t) = (\Phi_{j, M_2}^i(t))_{N-1}\}$ в (44) сходится по норме к решению уравнения (4) при $M_2 \rightarrow \infty$ и $\zeta_{M_1, M_2}^i(x)$ сходится по норме к (6) при $M_1 \rightarrow \infty, M_2 \rightarrow \infty$. Дополнительно рассмотрим возможность упрощения выражения (52) при определении $\zeta_M^i(x)$ для $M_1 = M_2 = M$.

Для формирования оценок введем следующие представления. Перепишем уравнение (4) в операторной форме:

$$\Phi^i + \mathcal{K}\Phi^i = \mathbf{u}^i, \quad (53)$$

где $\Phi^i = (\Phi_j^i)_{N-1}$; $\mathbf{u}^i = (u_j^i)_{N-1}$; $\mathcal{K} = (\mathcal{K}_{j,k})_{N-1 \times N-1}$ – матричный оператор; $\mathcal{K}\Phi^i = \sum_{k=0}^{N-1} \mathcal{K}_{j,k} \Phi_k^i$; $(\mathcal{K}_{j,k} \Phi_k^i)(t) \equiv \int_0^1 K_{j,k}(t, s) \Phi_k^i(s) ds$ – линейный ограниченный оператор на пространстве функций из $C([0, 1])$.

По аналогии с (53) для (44) определим уравнение

$$\Phi_{M_2}^i + \mathcal{K}^{M_2} \Phi_{M_2}^i = \mathbf{u}^i \quad (54)$$

при введении в рассмотрение линейного ограниченного оператора

$$(\mathcal{K}^{M_2} \Phi_k^i)(t) \equiv \sum_{m=0}^{M_2} (2m+1) \lambda_m^{j,k}(t) \int_0^1 L_m(s) \Phi_k^i(s) ds.$$

При определении оценок приближения векторной функции Φ будем использовать нормы в пространствах $C([0, 1])$ и $L_2([0, 1])$ [23], [24]:

$$\|\Phi\|_C = \max_{\substack{t \in [0, 1] \\ j \in \{0, N-1\}}} |\Phi_j(t)|; \quad \|\Phi\|_{L_2} = \sqrt{\sum_{j=0}^{N-1} \int_0^1 (\Phi_j(t))^2 dt}.$$

Теорема 2. $\exists M \in \mathbb{N} : \forall M_2 \geq M$ решение $\Phi_{M_2}^i$ уравнения (54) существует и единственно, при этом справедливы оценки

$$\|\Phi^i - \Phi_{M_2}^i\|_C \leq \max_{j \in \{0, N-1\}} \left\{ \frac{\text{const}}{\varpi_j^2} \sqrt{|e_{j-1}| \left(\frac{\pi - \alpha_j}{\sin \alpha_j} + \cos \alpha_j \right)} \right\}; \quad (55)$$

$$\|\Phi^i - \Phi_{M_2}^i\|_{L_2} \leq \text{const} \frac{M_2 2^{-M_2}}{(2M_2 + 1) \sqrt{2M_2 + 3}},$$

где const положительна и не зависит от M_2 .

В выражении (55), см. [17]

$$\varpi_j = \min \left\{ \Theta_j, \pi(\pi + |\pi - \alpha_j|)^{-1} \right\}; \quad \Theta_j = \begin{cases} |\sin \alpha_j|, & \alpha_j \in (0, \pi/2) \cup (3\pi/2, 2\pi), \\ 1, & \alpha_j \in [\pi/2, \pi) \cup (\pi, 3\pi/2]. \end{cases}$$

Доказательство. Из свойств ограниченного линейного оператора \mathcal{K} следует наличие обратного оператора $(I + \mathcal{K})^{-1}$, обеспечивающего разрешимость уравнения $\varphi^i = (I + \mathcal{K})^{-1} u^i$. Для получения оценок погрешности в $C([0, 1])$ и $L_2([0, 1])$ функцию φ^i представим в виде $\varphi^i = \rho \psi^i$, где ψ^i – новая искомая функция в (53), а $\rho = \rho(t) = 2\sqrt{t - t^2}$ [25] – весовая функция [18]. Обозначим разность $\Delta\mathcal{K} = \mathcal{K} - \mathcal{K}^{M_2}$ и с учетом (8), свойств ортогональных многочленов [18] определим оценку

$$\begin{aligned} \|\rho\Delta\mathcal{K}\|_C &\leq \max_{\substack{t \in [0, 1] \\ j \in \{0, N-1\}}} \left\{ \rho(t) \sum_{k=0}^{N-1} \int_0^1 \left| \mathcal{K}_{j,k}(t, s) - \sum_{n=0}^{M_2} (2n+1) \lambda_n^{j,k}(t) L_n(s) \right| ds \right\} \leq \\ &\leq \max_{\substack{t \in [0, 1] \\ j \in \{0, N-1\}}} \left\{ \rho(t) \sum_{k=0}^{N-1} \sqrt{\int_0^1 \left[K_{j,k}(t, s) - \sum_{n=0}^{M_2} (2n+1) \lambda_n^{j,k}(t) L_n(s) \right]^2 ds} \right\} = \\ &= \max_{\substack{t \in [0, 1] \\ j \in \{0, N-1\}}} \left\{ \rho(t) \sum_{k=0}^{N-1} \sqrt{\int_0^1 [K_{j,k}(t, s)]^2 ds - \sum_{n=0}^{M_2} (2n+1) [\lambda_n^j(t)]^2} \right\}. \end{aligned} \tag{56}$$

С учетом (5), тождества $\text{Im}(z^2) = 0, 5[z^2 - \overline{z^2}]$ и выделенных в доказательствах лемм 2–4 особенностей ядра $K_{j,k}(t, s)$ вычислим следующий интеграл из (56) при $j \neq k$:

$$\int_0^1 [K_{j,k}(t, s)]^2 ds = \frac{1}{2\pi^2} \left[\frac{\arg(z_{j,k+1}(t)) - \arg(z_{j,k}(t)) - \text{Re}\left(\frac{e_k^2}{z_{j,k}(t) z_{j,k+1}(t)}\right)}{\text{Im}(z_{j,k}(t) e_k^{-1})} \right]. \tag{57}$$

В случае $k = j$ интеграл (57) равен 0. В выражениях (57) приняты обозначения $z_{j,k}(t) = e_j t + R_{j,k}$; $z_{j,k+1}(t) = e_j t + R_{j,k+1}$.

Из определения интеграла (57) следует, что при $j = k + 1, t \rightarrow 0$ и $j = k - 1, t \rightarrow 1$ возникает особенность $f(t) = \int_0^1 [K_{j,k}(t, s)]^2 ds \rightarrow \infty$. В этой связи для вычисления верхней границы оценки (56) определим асимптотическое поведение функций $f(t)$ и $\tilde{f}_{M_2}(t) = \sum_{n=0}^{M_2} (2n+1) [\lambda_n^{j,k}(t)]^2$ при $j = k + 1, t \rightarrow 0$. Для этого на \mathbb{C} построим треугольник Δ_t с вершинами в $e_j t + P_j, P_k, P_{k+1}$, углами $\tilde{\alpha}, \tilde{\beta}, \tilde{\gamma}$ при соответствующих вершинах и сторонами $a = |e_k|, b = |z_{j,k+1}(t)|, c = |z_{j,k}(t)|$. Заметим, что для заданного представления Δ_t и выражений (57), (8) функции $f(t), \tilde{f}_{M_2}(t)$ можно вычислить соотношениями

$$f(t) = \frac{1}{2\pi^2} \left[\frac{a}{b} \left(\frac{\tilde{\alpha}}{\sin \tilde{\gamma}} + \frac{a}{c} \cos \tilde{\gamma} \cos \tilde{\beta} \right) + \sin^2 \tilde{\alpha} \right]; \tag{58}$$

$$\tilde{f}_{M_2}(t) = \frac{1}{\pi^2} \sum_{n=0}^{M_2} (2n+1) \text{Im} \left[L_n \left(\frac{c}{a} e^{-i\tilde{\beta}} \right) \left(\ln \left(\frac{b}{c} \right) - i\tilde{\alpha} \right) + 2W_{n-1} \left(\frac{c}{a} e^{-i\tilde{\beta}} \right) \right]^2. \tag{59}$$

Из определения Δ_t следует, что при $j = k + 1, t \rightarrow 0$ треугольник вырождается в прямую $P_k P_{k+1}$ при $c \rightarrow a, b \rightarrow 0, \tilde{\alpha} \rightarrow \pi - \alpha_j, \tilde{\beta} \rightarrow 0, \tilde{\gamma} \rightarrow \alpha_j$, где α_j – внутренний угол Ω при вершине P_j . Для заданных представлений с учетом известных правил раскрытия неопределенностей и свойств конечных сумм [19] сведем соотношения (58), (59) к виду

$$f(t) \sim \frac{1}{2\pi^2} \frac{|e_{j-1}|}{|e_j|} \left(\frac{\pi - \alpha_j}{\sin \alpha_j} + \cos \alpha_j \right) t^{-1}; \tag{60}$$

$$\tilde{f}_{M_2}(t) = \pi^{-2} (M_2 + 1)^2 (\pi - \alpha_j)^2. \tag{61}$$

Аналогично изложенному, рассматривая асимптотическое поведение функций $f(t)$ и $\tilde{f}_{M_2}(t)$ при $j = k - 1, t \rightarrow 1$, с учетом свойств функции $\rho(t)$ для $t \in [0, 1]$ и (56) получаем оценку

$$\|\rho\Delta\mathcal{K}\|_C \leq \max_{j \in \{0, N-1\}} \left\{ \frac{1}{\pi} \sqrt{\frac{2|e_{j-1}| \left(\frac{\pi - \alpha_j}{\sin \alpha_j} + \cos \alpha_j \right)}{|e_j|}} \right\}. \tag{62}$$

Заметим, что из свойств ортогональных многочленов следует справедливость неравенства $\|[\rho(I + \mathcal{K})]^{-1}\|_C \|\rho\Delta\mathcal{K}\|_C < 1$, в котором $\|[\rho(I + \mathcal{K})]^{-1}\|_C \leq \max_{j \in \{0, N-1\}} \{\text{const } \varpi_j^{-1}\}$. Тогда, следуя [23], с учетом принятых обозначений в (56), (62) и неравенства Коши–Буняковского справедлива оценка в $C([0, 1])$:

$$\begin{aligned} \|\Phi^i - \Phi_{M_2}^i\|_C &\leq \|\mathbf{u}^i\|_C \left\| [\rho(I + \mathcal{K})]^{-1} - [\rho(I + \mathcal{K}^{M_2})]^{-1} \right\|_C \leq \frac{\|\mathbf{u}^i\|_C \|\rho\Delta\mathcal{K}\|_C \|[\rho(I + \mathcal{K})]^{-1}\|_C^2}{1 - \|[\rho(I + \mathcal{K})]^{-1}\|_C \|\rho\Delta\mathcal{K}\|_C} \\ &\leq \max_{j \in \{0, N-1\}} \left\{ \frac{\text{const}}{\varpi_j^2 \pi} \sqrt{\frac{2|e_{j-1}| \left(\frac{\pi - \alpha_j}{\sin \alpha_j} + \cos \alpha_j \right)}{|e_j|}} \right\}. \end{aligned} \tag{63}$$

С учетом (5) и (8), принимая замену переменных $z = 2 \frac{e_j t + R_{j,k}}{e_k} - 1$ и $s = \frac{\mu + 1}{2}$, при обозначении $\tilde{\rho}(z) = \rho\left(\frac{e_k(1+z) - 2R_{j,k}}{2e_j}\right)$ сформируем следующую оценку для $\Delta\mathcal{K}$ в $L_2([0, 1])$:

$$\|\rho\Delta\mathcal{K}\|_{L_2}^2 \leq \frac{\text{const}}{2\pi^2} \sum_{j=0}^{N-1} \sum_{k=0}^{N-1} \left| \frac{e_k}{e_j} \int_{\frac{2R_{j,k}-1}{e_k}}^{\frac{2R_{j+1,k}-1}{e_k}} \tilde{\rho}^2(z) \int_{-1}^1 \left[\frac{1}{z-\mu} - \sum_{n=0}^{M_2} (2n+1) \tilde{Q}_n(z) \tilde{L}_n(\mu) \right]^2 d\mu dz \right|, \tag{64}$$

где const не зависит от M_2 .

С учетом формулы Кристоффеля [26], неравенства Коши–Буняковского и свойств ортогональных многочленов [18] сведем оценку (64) к виду

$$\begin{aligned} \|\rho\Delta\mathcal{K}\|_{L_2}^2 &\leq \frac{\text{const}}{2\pi^2} \sum_{j=0}^{N-1} \sum_{k=0}^{N-1} \left| \frac{e_k}{e_j} \int_{\frac{2R_{j,k}-1}{e_k}}^{\frac{2R_{j+1,k}-1}{e_k}} \tilde{\rho}^2(z) \int_{-1}^1 \left[\frac{M_2+1}{z-\mu} \left(\tilde{Q}_{M_2}(z) \tilde{L}_{M_2+1}(\mu) - \tilde{Q}_{M_2+1}(z) \tilde{L}_{M_2}(\mu) \right) \right]^2 d\mu dz \right| \leq \\ &\leq \frac{\text{const}}{\pi^2} \sum_{j=0}^{N-1} \sum_{k=0}^{N-1} \left| \frac{e_k}{e_j} \int_{\frac{2R_{j,k}-1}{e_k}}^{\frac{2R_{j+1,k}-1}{e_k}} \tilde{\rho}^2(z) \int_{-1}^1 \left(\frac{M_2+1}{z-\mu} \right)^2 d\mu dz \int_{\frac{2R_{j,k}-1}{e_k}}^{\frac{2R_{j+1,k}-1}{e_k}} \left[\frac{(\tilde{Q}_{M_2}(z))^2}{2M_2+3} + \frac{(\tilde{Q}_{M_2+1}(z))^2}{2M_2+1} \right] dz \right|. \end{aligned} \tag{65}$$

Для определения оценки (65), учитывая соотношения между ортогональными многочленами Лежандра II рода [26]

$$\begin{aligned} \tilde{Q}_n(z) &= \frac{2n-1}{n} z \tilde{Q}_{n-1}(z) - \frac{n-1}{n} \tilde{Q}_{n-2}(z), \quad z \tilde{Q}_n(z) = \frac{n+1}{2n+1} \tilde{Q}_{n+1}(z) + \frac{n}{2n+1} \tilde{Q}_{n-1}(z), \\ \frac{d\tilde{Q}_n(z)}{dz} &= \frac{n}{1-z^2} (\tilde{Q}_{n-1}(z) - z \tilde{Q}_n(z)), \end{aligned}$$

тождество

$$\int_a^b \tilde{Q}_n(z) \tilde{Q}_m(z) dz = \frac{\left[\sqrt{1-z^2} (\tilde{Q}_m(z) \tilde{Q}_n'(z) - \tilde{Q}_n(z) \tilde{Q}_m'(z)) \right]_a^b}{(n-m)(n+m+1)}$$

при $n \neq m$ из [20] для интеграла, содержащего функции Лежандра на разрезе, вычислим $\int_a^b (\tilde{Q}_n(z))^2 dz$ соотношением

$$\int_a^b (Q_n(z))^2 dz = \frac{1}{2n+1} \left[(Q_0(z))^2 (\bar{z} - 1) + \left(\ln \left(\frac{\bar{z} + 1}{4} \right) + 2i\pi \right) \frac{\ln(\bar{z} + 1)}{2} + \text{Li}_2 \left(\frac{\bar{z} + 1}{2} \right) + \sum_{h=0}^{n-1} T_{n-h}(z) \right]_a^b, \quad (66)$$

где

$$T_n(z) = \frac{1}{n^2} \left\{ z \left[(\tilde{Q}_n(z))^2 \left((2n+1)^2 z^2 - n(3n+2) \right) + (\tilde{Q}_{n+1}(z))^2 (n+1)^2 \right] - 2(n+1) \left[(2n+1)z^2 - n \right] \tilde{Q}_n(z) \tilde{Q}_{n+1}(z) \right\}.$$

Принимая во внимание равенство [19]

$$\tilde{Q}_n(z) = \frac{\Gamma(n+1)\Gamma\left(\frac{1}{2}\right)}{2^{n+1}\Gamma\left(n+\frac{3}{2}\right)} z^{-n-1} F\left(\frac{n+2}{2}, \frac{n+1}{2}, \frac{n+3}{2}, \frac{1}{z^2}\right),$$

выражения (65), (66) при асимптотическом представлении и учитывая тождество для гамма-функции $\Gamma(n)\Gamma\left(n+\frac{1}{2}\right) = 2^{1-2n}\sqrt{\pi}\Gamma(2n)$ и формулу Стирлинга $n! \approx \sqrt{2\pi n}\left(\frac{n}{e}\right)^n$, окончательно определим оценку (64) в следующем виде:

$$\|\rho\Delta^{\mathcal{H}}\|_{L_2}^2 \leq \text{const} \left[\frac{\Gamma(M_2+1)}{2^{M_2+1}\Gamma\left(M_2+\frac{3}{2}\right)} \right]^2 \frac{1}{2M_2+3} \leq \frac{\text{const } M_2 2^{-2M_2}}{(2M_2+3)(2M_2+1)^2}. \quad (67)$$

Аналогично (63) при $\|[\rho(I + \mathcal{H})]^{-1}\|_{L_2} \leq \text{const} \sum_{j=0}^{N-1} \varpi_j^{-1}$ и, следуя [23], справедлива оценка в $L_2([0, 1])$:

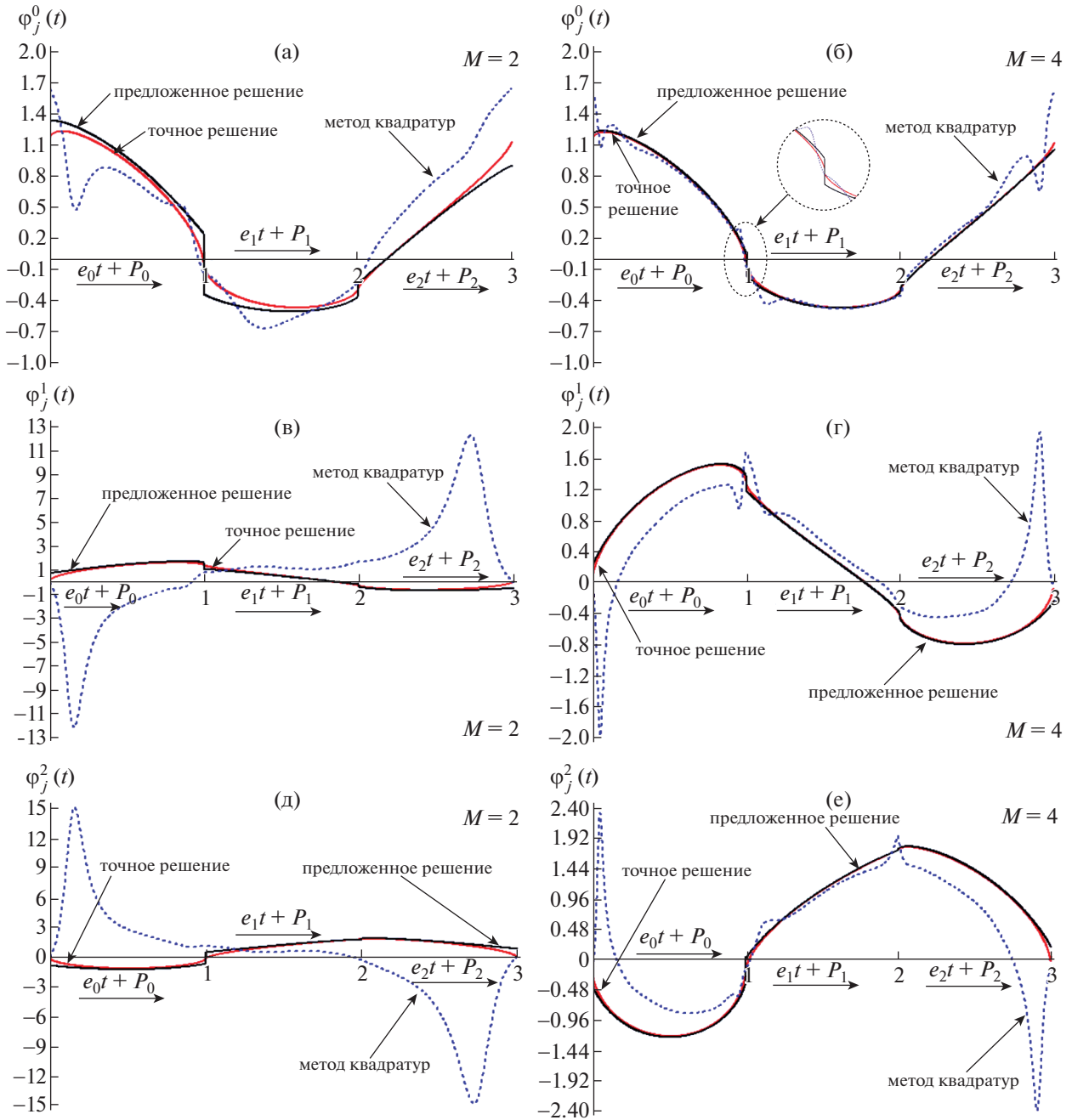
$$\|\Phi^i - \Phi_{M_2}^i\|_{L_2} \leq \frac{\|\mathbf{u}\|_{L_2} \|\rho\Delta^{\mathcal{H}}\|_{L_2} \|[\rho(I + \mathcal{H})]^{-1}\|_{L_2}^2}{1 - \|[\rho(I + \mathcal{H})]^{-1}\|_{L_2} \|\rho\Delta^{\mathcal{H}}\|_{L_2}} \leq \frac{\text{const } M_2 2^{-M_2} \left(\sum_{j=0}^{N-1} \varpi_j^{-1} \right)^2}{(2M_2+1)\sqrt{2M_2+3}}. \quad (68)$$

Таким образом, условие существования и единственности решения $\Phi_{M_2}^i$ уравнения (54) обеспечивает существование предела $\lim_{M_2 \rightarrow \infty} \|\mathcal{H} - \mathcal{H}^{M_2}\| = 0$, определяемого с учетом (5) и (8) при замене переменных $z = 2\frac{e_{j,t} + R_{j,k}}{e_k} - 1$ и $s = \frac{\mu+1}{2}$ из известной формулы Гейне [20], а полученные в $C([0, 1])$ и $L_2([0, 1])$ оценки (63) и (68) соответственно характеризуют справедливость (55), что и требовалось доказать.

Теорема 3. $\exists M \in \mathbb{N} : \forall M_1 \geq M, \forall M_2 \geq M$ решение $\tilde{\zeta}_{M_1, M_2}^i$ (52) задачи Дирихле (1) существует и единственно, при этом справедлива оценка

$$\|\zeta_i - \tilde{\zeta}_{M_1, M_2}^i\|_C \leq \frac{\text{const}_1 M_2 2^{-M_2}}{(2M_2+1)\sqrt{2M_2+3}} + \frac{\text{const}_2 M_1 2^{-M_1}}{(2M_1+1)\sqrt{2M_1+3}}, \quad (69)$$

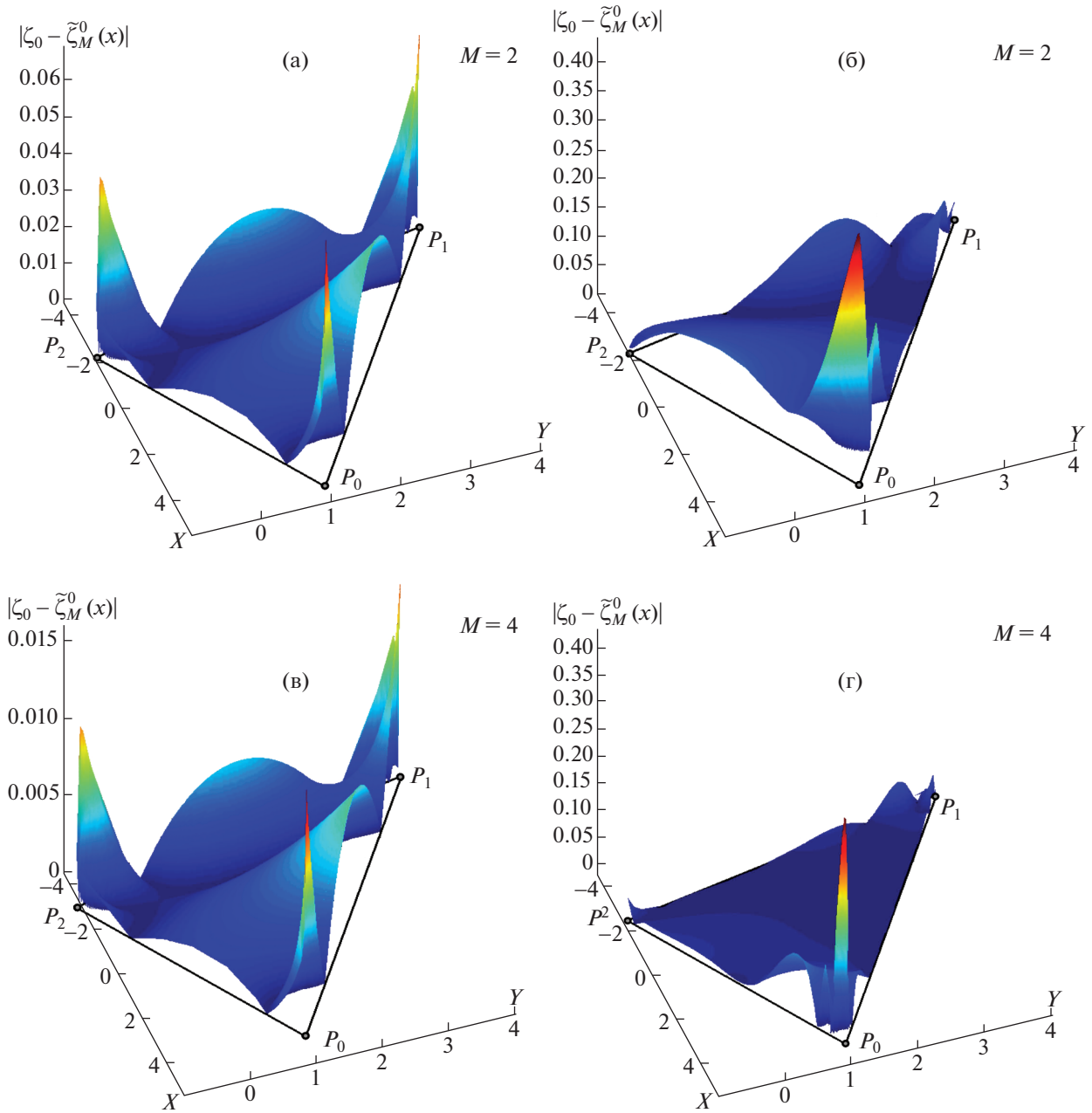
где $\text{const}_{1,2}$ положительны и не зависят от M_1, M_2 .



Фиг. 1. Расчет $\varphi_j^0(t)$ (а), (б), $\varphi_j^1(t)$ (в), (г) и $\varphi_j^2(t)$ (д), (е) на ребрах треугольника при приближенном решении (4) для $M = 2$ (а), (в), (д) и $M = 4$ (б), (г), (е).

Доказательство. Учитывая (6), неравенство треугольника и, принимая обозначения $(\mathcal{H}\varphi^i)(x) \equiv \sum_{j=0}^{N-1} \int_0^1 \varphi_j^i(t) \int_0^1 K_j(t, x) dt$, $(\mathcal{H}^{M_1}\varphi_{M_2}^i)(x) \equiv \sum_{j=0}^{N-1} \int_0^1 \varphi_{j, M_2}^i(t) \sum_{n=0}^{M_1} (2n+1) \lambda'_{j, n}(x) L_n(t) dt$, определим оценку БК в $C([0, 1])$ в следующем виде:

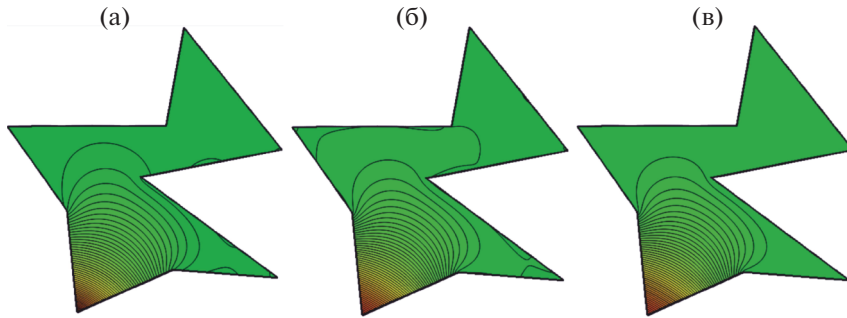
$$\begin{aligned}
 2\pi \|\zeta_i - \tilde{\zeta}_{M_1, M_2}^i\|_C &= \|\mathcal{H}\varphi^i - \mathcal{H}\varphi_{M_2}^i + \mathcal{H}\varphi_{M_2}^i - \mathcal{H}^{M_1}\varphi_{M_2}^i\|_C \leq \\
 &\leq \|\mathcal{H}\|_C \left| \sum_{j=0}^{N-1} \int_0^1 \varphi_j^i(t) - \varphi_{j, M_2}^i(t) dt \right| + \left| \sum_{j=0}^{N-1} \int_0^1 \varphi_{j, M_2}^i(t) dt \right| \|\mathcal{H} - \mathcal{H}^{M_1}\|_C.
 \end{aligned}
 \tag{70}$$



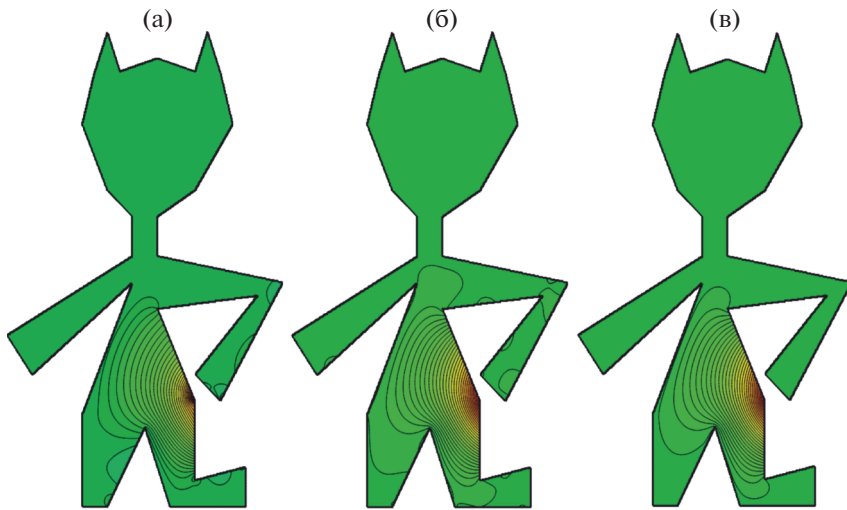
Фиг. 2. Распределение ошибки приближенно-аналитического решения (1) для треугольника при $i = 0$, выполненного разработанным методом по правилу (72) (а), (в) и при непосредственном интегрировании (б) с подстановкой в $\varphi_j^i(t)$ результата, полученного методом квадратур (б), (г).

Принимая во внимание (1), (42), (52), (55) и свойства БК [1], [11] ($\zeta_i(x) \geq 0 : \forall x \in \Omega$; $\max_{x \in \Omega} \{\zeta_i(x)\} = 1$; $\operatorname{argmax}_{x \in \Omega} \{\zeta_i(x)\} = P_i$) при $\|\mathcal{H}\|_C = 2\pi$ сведем оценку (70) к виду

$$\begin{aligned}
 2\pi \|\zeta_i - \tilde{\zeta}_{M_1, M_2}^i\|_C &\leq \frac{\operatorname{const}_1 M_2 2^{-M_2}}{(2M_2 + 1)\sqrt{2M_2 + 3}} + \operatorname{const} \left\| \sum_{j=0}^{N-1} S_{j,0}^i \right\| \|\mathcal{H} - \mathcal{H}^{M_1}\|_C \leq \\
 &\leq \frac{\operatorname{const}_1 M_2 2^{-M_2}}{(2M_2 + 1)\sqrt{2M_2 + 3}} + \frac{\operatorname{const}_2 M_1 2^{-M_1}}{(2M_1 + 1)\sqrt{2M_1 + 3}}.
 \end{aligned}
 \tag{71}$$



Фиг. 3. Пример расчета ζ_M^i для вогнутого девятиугольника при $M = 2$ (а), $M = 4$ (б), $M = 6$ (в).



Фиг. 4. Пример расчета ζ_M^i для вогнутого многоугольника из 32 вершин при $M = 2$ (а), $M = 4$ (б), $M = 6$ (в).

Таким образом, условие существования и единственности решения ζ_{M_1, M_2}^i (52) задачи Дирихле (1) с учетом (6) и результатов лемм 1–4 и теоремы 1 обеспечивается предыдущим доказательством существования и единственности решения $\bar{\varphi}_{M_2}^i$ уравнения (54). При этом полученная оценка (71) соответствует исходной (69), что и требовалось доказать.

Из результатов теорем 2, 3 и соотношений (6), (42), (45), (52) вытекает

Следствие 1. $\exists \tilde{M} \in \mathbb{N} : \forall M \geq \tilde{M}$ решение

$$\zeta_M^i(x) = \frac{1}{2\pi} \sum_{j=0}^{N-1} \sum_{n=0}^M \sqrt{2n+1} S_{j,n}^i \lambda'_{j,n}(x) \tag{72}$$

задачи Дирихле (1) существует и единственно, при этом справедлива оценка

$$\|\zeta_i - \zeta_M^i\|_C \leq \frac{\text{const } M 2^{-M}}{(2M+1)\sqrt{2M+3}}, \tag{73}$$

где const положительна и не зависит от M .

Заданное соотношение (72) предлагается рассматривать как основное выражение определения гармонических БК для произвольных Ω .

Для наглядной демонстрации предпочтительности предложенного решения в сравнении с известными [17], [22] (метод квадратур) в САПР MathCad и Matlab проведены тестовые расчеты Φ^i и ζ_i для канонических областей и областей сложной формы (вогнутые многоугольники). Ввиду

известного решения по определению БК через отношение площадей в качестве канонической области выбран треугольник. Положение его вершин задано следующими координатами в \mathbb{C} : $P_0 = 5 + i$; $P_1 = -4 + 4i$; $P_2 = -2 - i$. На фиг. 1 приведены сравнительные результаты расчета функций плотности ϕ^i на ребрах e_j треугольника при приближенном решении интегрального уравнения (4) разработанным методом и методом квадратур для различных порядков аппроксимации M .

На фиг. 2 приведены распределения ошибки приближенно-аналитического решения задачи (1) для треугольника при $i = 0$. Указанные решения выполнены разработанным методом по правилу (72) и при непосредственном численном интегрировании (6) (погрешность интегрирования задана 10^{-10}) с подстановкой в $\phi_j^i(t)$ результата, полученного методом квадратур.

На фиг. 3 приведены расчеты БК по правилу (72) для вогнутого девятиугольника при различных порядках аппроксимации M .

На фиг. 4 приведены расчеты БК по правилу (72) для вогнутого многоугольника из 32 вершин при различных значениях M .

5. ЗАКЛЮЧЕНИЕ

Полученное соотношение (72) позволяет с экспоненциальной скоростью сходимости формировать решение по определению гармонических БК для произвольных многоугольников. Оценки (55), (69), (73) и результаты моделирования (фиг. 1–4) свидетельствуют о предпочтительности предложенного приближенно-аналитического решения задач (1) и (4) в сравнении с известными. Предложенный метод при наименьших вычислительных затратах в сравнении с известными (метод квадратур) позволяет повысить точность решения задачи (1) до 7 раз вблизи угловых точек и до 3.6 раз по всей области анализа (см. фиг. 2). Высокая точность решения обеспечивается уже при небольших M (даже для достаточно сложных по форме многоугольных областей) порядков аппроксимации достаточно выбрать на интервале $M \in [5; 8]$, см. фиг. 3, 4).

В целом в результате проведенных исследований получено относительно простое аналитическое соотношение (72), позволяющее эффективно определять гармонические БК для произвольных многоугольников. Недостаток разработанного метода состоит в необходимости решения системы линейных уравнений (43) при определении коэффициентов $S_{k,m}^i$. Принимая во внимание высокую точность метода, указанный недостаток является несущественным, поскольку: 1) неизвестные коэффициенты $S_{k,m}^i$ не зависят от $x \in \Omega$, а определяются формой Ω и требуют пересчета лишь при ее изменении; 2) количество уравнений и переменных в системе (43) с учетом рекомендации $M \in [5; 8]$ измеряется единицами.

СПИСОК ЛИТЕРАТУРЫ

1. Полянский И.С. Барицентрический метод в вычислительной электродинамике. Орел: Академия ФСО России, 2017.
2. Полянский И.С. Барицентрический метод в задаче оптимального управления формой отражающей поверхности зеркальной антенны // Матем. моделирование. 2017. Т. 29. № 11. С. 140–150.
3. Архипов Н.С., Полянский И.С., Степанов Д.Е. Барицентрический метод в задачах анализа поля в регулярном волноводе с произвольным поперечным сечением // Антенны. 2015. Т. 212. № 1. С. 32–40.
4. Полянский И.С. Векторный барицентрический метод в вычислительной электродинамике // Труды СПИИРАН. 2017. Т. 51. № 2. С. 206–222.
5. Колтон Д., Кресс Р. Методы интегральных уравнений в теории рассеяния: пер. с англ. М.: Мир, 1987.
6. Полянский И.С., Пехов Ю.С. Барицентрический метод в решении сингулярных интегральных уравнений электродинамической теории зеркальных антенн // Труды СПИИРАН. 2017. Т. 54. № 5. С. 244–262.
7. Ильинский А.С., Смирнов Ю.Г. Дифракция электромагнитных волн на проводящих тонких экранах. М.: ИПРЖР, 1996.
8. Wachspress E.L. A rational finite element basis. New York: Acad. Press. 1975.
9. Полянский И.С. Барицентрические координаты Пуассона для многомерной аппроксимации скалярного потенциала внутри произвольной области (Часть 1) // Вестн. СГТУ. 2015. Т. 78. № 1. С. 30–36.

10. Полянский И.С. Бариеентрические координаты Пуассона для многомерной аппроксимации скалярного потенциала внутри произвольной области (Часть 2) // Вестн. СГТУ. 2015. Т. 78. № 1. С. 36–42.
11. Полянский И.С. Бариеентрические координаты Пуассона–Римана // Труды СПИИРАН. 2016. Т. 49. № 6. С. 32–48.
12. Радыгин В.М., Полянский И.С. Модифицированный метод последовательных конформных отображений наперед заданных многоугольных областей // Вестн. ТГУ. Матем. и механ. 2016. Т. 39. № 1. С. 25–35.
13. Радыгин В.М., Полянский И.С. Методы конформных отображений многогранников в \mathbb{R}^3 // Вестн. Удмуртского университета. Матем. Механ. Компьютерные науки. 2017. Т. 27. № 1. С. 60–68.
14. Трикоми Ф. Интегральные уравнения. Пер. с англ. Б.В. Боярского, И.И. Данилюка. М.: Изд-во иностр. лит., 1960.
15. Rustatov R.M. Boundary Element Formulation of Harmonic Coordinates // Technical Report, November, 2007.
16. Верлань А.Ф., Сизиков В.С. Интегральные уравнения: методы, алгоритмы, программы. Справочное пособие. Киев: Наук. думка, 1986.
17. Арушанян И.О. О численном решении граничных интегральных уравнений II рода в областях с угловыми точками // Ж. вычисл. матем. и матем. физ. 1996. Т. 36. № 5. С. 537–548.
18. Сегё Г. Ортогональные многочлены. Пер. с англ. В.С. Виденского. М.: Физматлит, 1962.
19. Градштейн И.С., Рыжик И.М. Таблицы интегралов, сумм, рядов и произведений. Изд. 4-е. М.: Физматлит, 1963.
20. Бейтмен Г., Эрдейи А. Высшие трансцендентные функции. Гипергеометрическая функция, функция Лежандра. Пер. с англ. Н.Я. Виленкина. М.: Наука, 1965.
21. Воробьев Н.Н. Теория рядов. Изд. 4-е. испр. и доп. М.: Наука, 1979.
22. Арушанян И.О. Семейство квадратурных формул для численного решения граничных интегральных уравнений // Выч. мет. программирование. 2013. Т. 14. № 4. С. 461–467.
23. Краснов М.Л. Интегральные уравнения. (Введение в теорию) – Москва: Наука, 1975.
24. Мазья В.Г. Граничные интегральные уравнения // Итоги науки и техн. М.: ВИНТИ, 1988. Т. 27. С. 131–228.
25. Ожегова А.В. Сходимость в интегральной метрике общего проекционного метода решения сингулярного интегрального уравнения первого рода с ядром Коши // Известия вузов. Математика. 2008. № 10. С. 39–47.
26. Гобсон Е.В. Теория сферических и эллипсоидальных функций. Пер. с англ. М.: Изд-во ин. лит., 1952.